



Universidade Estadual de Campinas  
Faculdade de Engenharia Mecânica  
IM381 – Elementos Finitos I



## Tarefa Computacional V

# Elementos Isoparamétricos QUAD4 com Integração de Gauss

Leonardo Silveira Leite

RA: 291646

Campinas - SP  
2 de dezembro de 2024

## 1 RESUMO

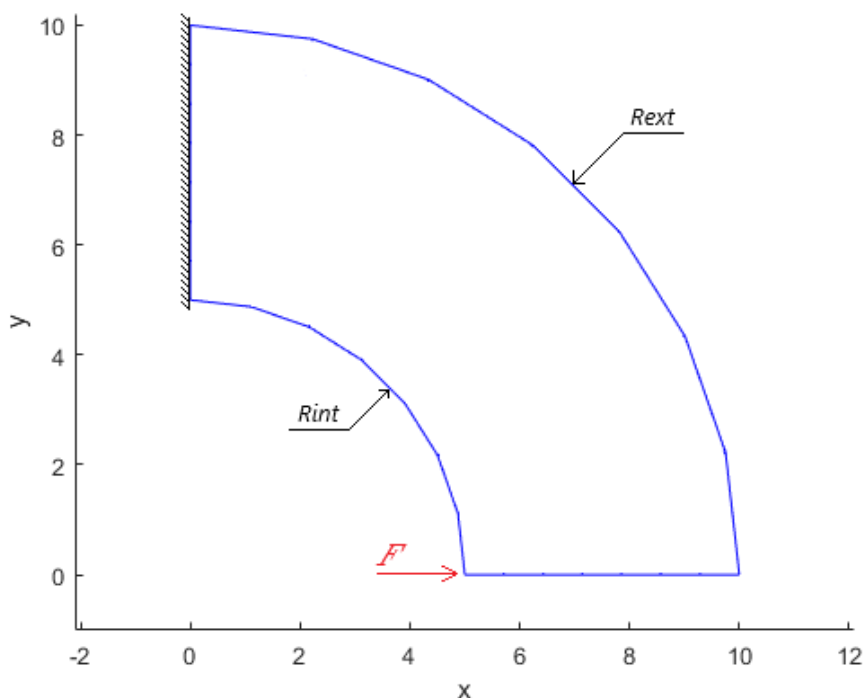
O estudo aborda uma viga 2D em estado plano de tensões, utilizando elementos finitos QUAD4 com integração de Gauss. A viga, fixa em uma extremidade e livre na outra, é submetida a um carregamento de flexão, e seu comportamento é analisado em termos de deslocamentos e tensões para malhas com 81, 196 e 400 elementos. A geometria curva foi escolhida para avaliar a eficiência dos elementos em estruturas deformáveis. São apresentados resultados de deslocamentos máximos, e tensões de Von Mises para cada refinamento, evidenciando uma forte correlação entre a precisão dos resultados e o refinamento da malha.

## 2 INTRODUÇÃO

Desenvolver um código para resolver o problema de estado plano de tensões, usando elementos QUAD4, com integração de Gauss. Aplicar no problema de uma viga 2D curta engastada ( $x = 0$ ) e livre ( $x = L$ ), com a geometria da sua escolha. Aplique um carregamento de flexão, e compare os resultados dos deslocamentos e tensões obtidos para três refinamentos de malha diferentes. Comente seus resultados, e explique as suas escolhas de geometria e carga.

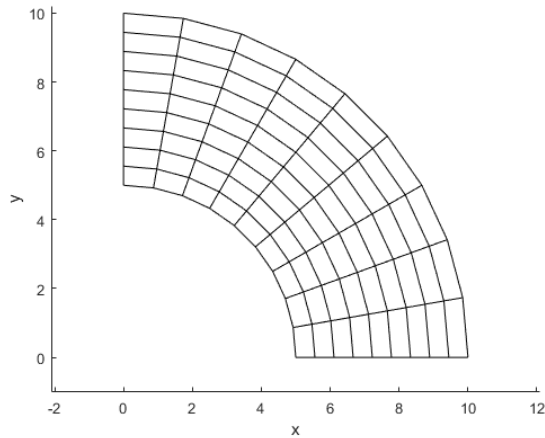
## 3 RESOLUÇÃO DO EXERCÍCIO

A geometria considerada está representada na Figura 1. Trata-se de uma viga curva com 90 graus de curvatura, fixada em  $x = 0$  e livre em  $x = L$ , viga apresenta um formato anular parcial, definido por um raio interno  $R_{int.}$  e um raio externo  $R_{ext.}$ , e está submetida a uma carga de flexão concentrada  $F$ .

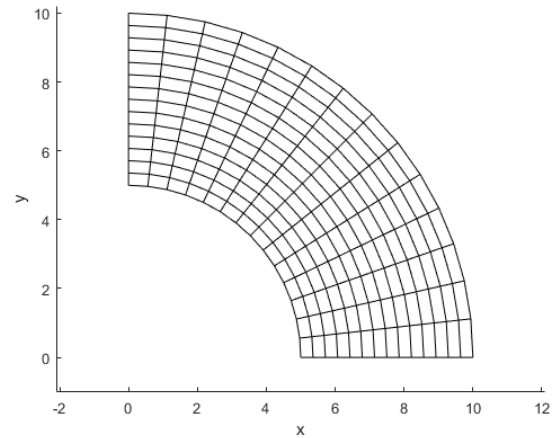


**Figura 1** – Geometria curva sujeita à carga de flexão.

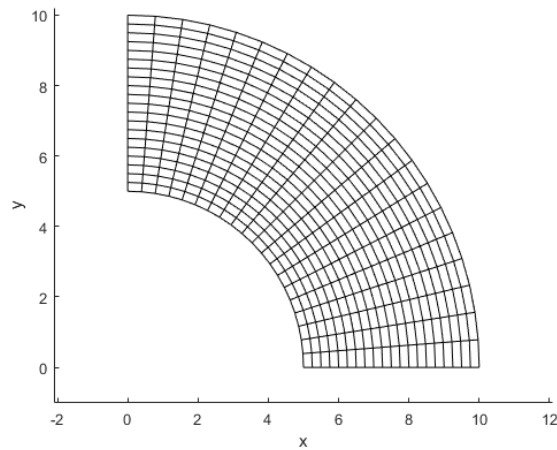
As discretizações correspondentes a 81, 196 e 400 elementos, do tipo QUAD4, são apresentadas na Figura 2.



(a)



(b)



(c)

**Figura 2** – Discretizações correspondentes a 81(a), 196(b) e 400(c) elementos.

Define-se inicialmente os parâmetros de integração de Gauss para o caso de um quadrado com dois pontos de Gauss:

$$npg = 2, \quad \text{Pesos: } w_i = 1, \quad \text{Abscissas: } \xi_i = \left[ -\frac{1}{\sqrt{3}}, \frac{1}{\sqrt{3}} \right]$$

A matriz de constituição  $D$  é dada por:

$$D = \frac{E}{1-\nu^2} \begin{bmatrix} 1 & \nu & 0 \\ \nu & 1 & 0 \\ 0 & 0 & \frac{1-\nu}{2} \end{bmatrix} \quad (1)$$

A integração de Gauss para o elemento de integração é dada por:

$$\text{Para } i = 1, \dots, npg, \quad j = 1, \dots, npg$$

A cada ponto de integração, tem-se os pesos  $w_i$  e  $w_j$  e as abscissas  $\xi_i$  e  $\eta_j$ , e os nós do elemento são:  $n_1, n_2, n_3$ , e  $n_4$ .

As coordenadas dos nós são:

$$(x_1, y_1), \quad (x_2, y_2), \quad (x_3, y_3), \quad (x_4, y_4)$$

As derivadas das funções de forma em relação às abscissas  $\xi$  e  $\eta$  são:

$$\frac{dN_1}{d\xi} = \frac{-1}{4}(1-\eta), \quad \frac{dN_2}{d\xi} = \frac{1}{4}(1-\eta), \quad \frac{dN_3}{d\xi} = \frac{1}{4}(1+\eta), \quad \frac{dN_4}{d\xi} = \frac{-1}{4}(1+\eta)$$

$$\frac{dN_1}{d\eta} = \frac{-1}{4}(1-\xi), \quad \frac{dN_2}{d\eta} = \frac{-1}{4}(1+\xi), \quad \frac{dN_3}{d\eta} = \frac{1}{4}(1+\xi), \quad \frac{dN_4}{d\eta} = \frac{1}{4}(1-\xi)$$

A matriz Jacobiana  $J$  é dada por:

$$J = \begin{bmatrix} \frac{dN_1}{d\xi} & \frac{dN_2}{d\xi} & \frac{dN_3}{d\xi} & \frac{dN_4}{d\xi} \\ \frac{dN_1}{d\eta} & \frac{dN_2}{d\eta} & \frac{dN_3}{d\eta} & \frac{dN_4}{d\eta} \end{bmatrix} \begin{bmatrix} x_1 & y_1 \\ x_2 & y_2 \\ x_3 & y_3 \\ x_4 & y_4 \end{bmatrix} \quad (2)$$

A derivada das funções de forma em relação às coordenadas  $x$  e  $y$  são:

$$\frac{dN_1}{dx} = J_{1,1}^{-1}N_1(\xi) + J_{1,2}^{-1}N_1(\eta), \quad \frac{dN_2}{dx} = J_{1,1}^{-1}N_2(\xi) + J_{1,2}^{-1}N_2(\eta), \quad \dots$$

$$\frac{dN_1}{dy} = J_{2,1}^{-1}N_1(\xi) + J_{2,2}^{-1}N_1(\eta), \quad \frac{dN_2}{dy} = J_{2,1}^{-1}N_2(\xi) + J_{2,2}^{-1}N_2(\eta), \quad \dots$$

A matriz  $B$  é formada por:

$$B = \begin{bmatrix} \frac{dN_1}{dx} & 0 & \frac{dN_2}{dx} & 0 & \frac{dN_3}{dx} & 0 & \frac{dN_4}{dx} & 0 \\ 0 & \frac{dN_1}{dy} & 0 & \frac{dN_2}{dy} & 0 & \frac{dN_3}{dy} & 0 & \frac{dN_4}{dy} \\ \frac{dN_1}{dy} & \frac{dN_1}{dx} & \frac{dN_2}{dy} & \frac{dN_2}{dx} & \frac{dN_3}{dy} & \frac{dN_3}{dx} & \frac{dN_4}{dy} & \frac{dN_4}{dx} \end{bmatrix} \quad (3)$$

A contribuição de rigidez do elemento é:

$$k_e = k_e + w_i w_j B^T D B \det(J) \quad (4)$$

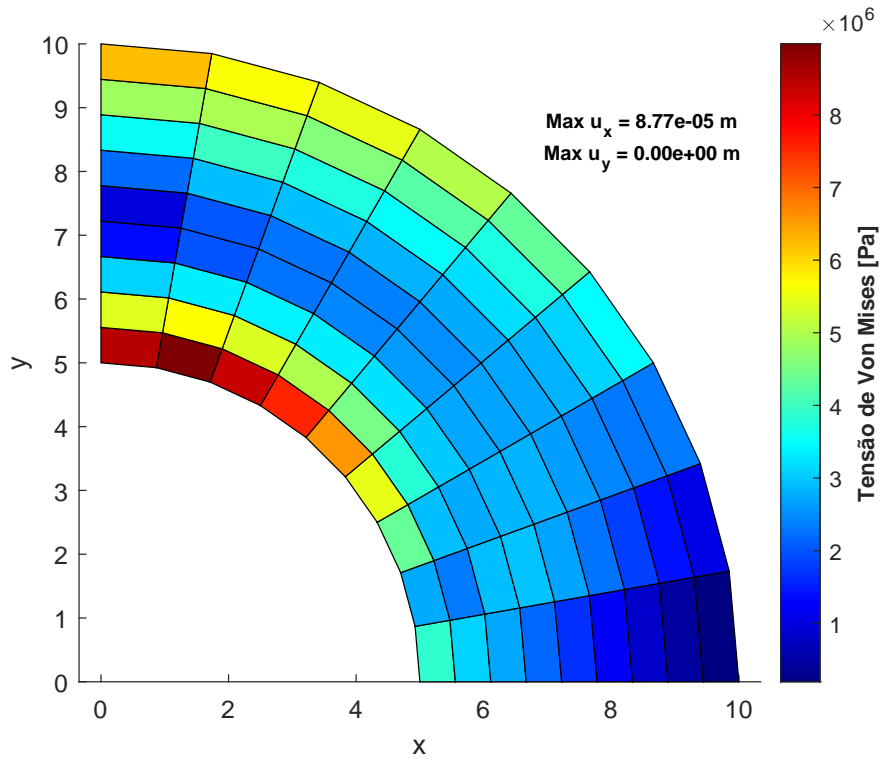
Portanto, O estado de plano de tensão é apresentado por:

$$\begin{Bmatrix} \sigma_{xx} \\ \sigma_{yy} \\ \sigma_{xy} \end{Bmatrix} = \frac{E}{1-\nu^2} \begin{bmatrix} 1 & \nu & 0 \\ \nu & 1 & 0 \\ 0 & 0 & \frac{1-\nu}{2} \end{bmatrix} \begin{Bmatrix} \epsilon_{xx} \\ \epsilon_{yy} \\ \epsilon_{xy} \end{Bmatrix} \quad (5)$$

E a deformação é dada por:

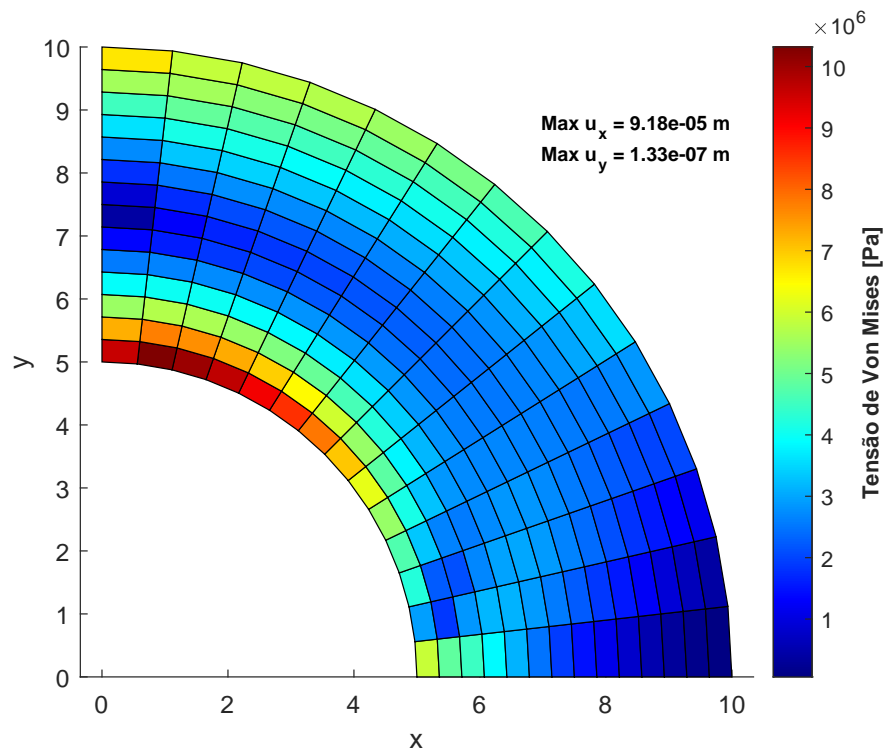
$$\begin{Bmatrix} \epsilon_{xx} \\ \epsilon_{yy} \\ \epsilon_{xy} \end{Bmatrix} = \begin{Bmatrix} \frac{du}{dx} \\ \frac{dv}{dy} \\ \frac{du}{dx} + \frac{dv}{dy} \end{Bmatrix} = \begin{bmatrix} \frac{dN_1}{dx} & 0 & \frac{dN_2}{dx} & 0 & \frac{dN_3}{dx} & 0 & \frac{dN_4}{dx} & 0 \\ 0 & \frac{dN_1}{dy} & 0 & \frac{dN_2}{dy} & 0 & \frac{dN_3}{dy} & 0 & \frac{dN_4}{dy} \\ \frac{dN_1}{dy} & \frac{dN_1}{dx} & \frac{dN_2}{dy} & \frac{dN_2}{dx} & \frac{dN_3}{dy} & \frac{dN_3}{dx} & \frac{dN_4}{dy} & \frac{dN_4}{dx} \end{bmatrix} \begin{Bmatrix} u_1 \\ v_1 \\ u_2 \\ v_2 \\ u_3 \\ v_3 \\ u_4 \\ v_4 \end{Bmatrix} \quad (6)$$

As Figuras 3, 4 e 5 apresentam os resultados de deslocamento máximos em  $x$  e  $y$ , e o mapa de cor da tensão na geometria submetida à carga de flexão concentrada  $F$ .

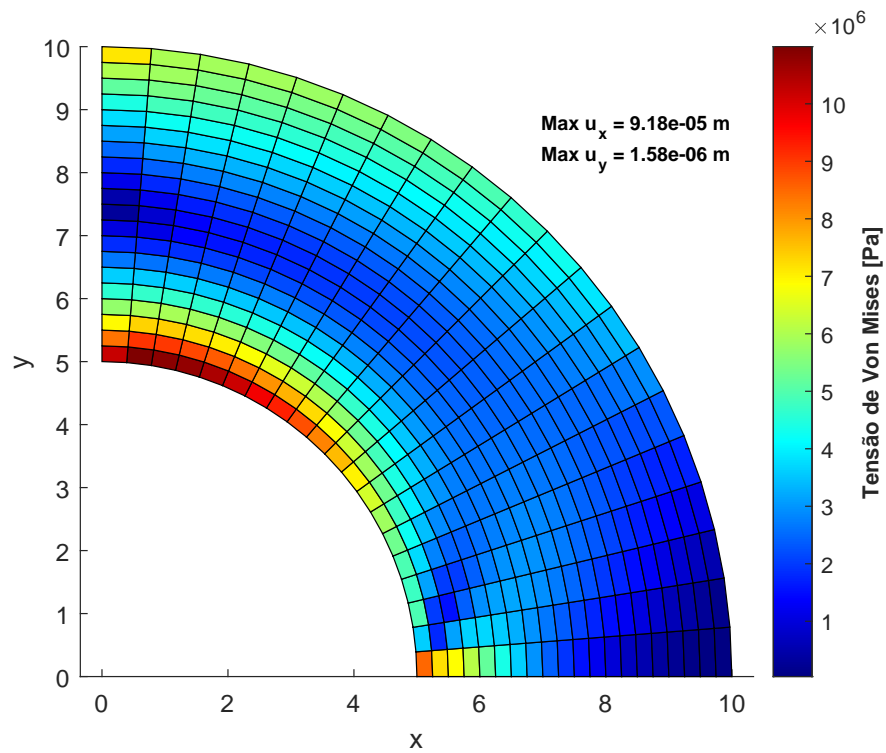


**Figura 3** – Deslocamento e tensão equivalente da geometria com 81 elementos.

Para detalhes de deslocamento nos nós, conferir os *prints* das tabelas no código MATLAB em anexo.



**Figura 4** – Deslocamento e tensão equivalente da geometria com 196 elementos.



**Figura 5** – Deslocamento e tensão equivalente da geometria com 400 elementos.

**Comentários:** A escolha da geometria foi feita com o intuito de explorar a eficácia de elementos isoparamétricos em estruturas que apresentam curvaturas, onde a deformação do elemento e a visualização das tensões se tornam mais nítidas. A aplicação da carga no primeiro nó foi determinada para simular forças externas em uma tubulação, o que pode resultar em uma perda de carga significativa. Esta abordagem permite analisar como as forças externas podem afetar a distribuição de tensões ao longo da viga e como diferentes refinamentos de malha influenciam a precisão dos resultados de deslocamento e tensões. A Tabela 1 apresenta os deslocamentos máximos em  $x$  e  $y$ , e a tensão Von Mises de todas as malhas abordadas.

	81 elementos	196 elementos	400 elementos
Deslocamento máximo em $x$	$8,7705 \times 10^{-5} m$	$9,1849 \times 10^{-5} m$	$9,1845 \times 10^{-5} m$
Deslocamento máximo em $y$	0	$1,3304 \times 10^{-7} m$	$1,5831 \times 10^{-6} m$
Tensão Von Mises	$6,2087 \times 10^6 Pa$	$6,6803 \times 10^6 Pa$	$7,1024 \times 10^6 Pa$

**Tabela 1** – Deslocamentos máximos em  $x$  e  $y$ , e tensão de Von Mises nas malhas estudadas.

#### 4 REFERÊNCIAS BIBLIOGRÁFICAS

COOK, R. D.; MALKUS, D. S.; PLESHA, M. E. *Concepts and Applications of Finite Element Analysis*. [S.l.]: Wiley, 1989.

KWON, Y. W.; BANG, H. *The Finite Element Method Using MATLAB Second Edition*. [S.l.]: CRC Press LLC, 2000.

PAVANELLO, R. *Caderno de Elementos Finitos*. [S.l.], 2020.